# 塩化物イオン濃度分布に与える降雨の影響及び移流拡散方程式による評価

拓真 京都大学工学部 学生会員 〇久保 京都大学大学院工学研究科 正会員 安 琳

住友生命保険相互会社(元京都大学院生) 睦弥

# 1. 序論

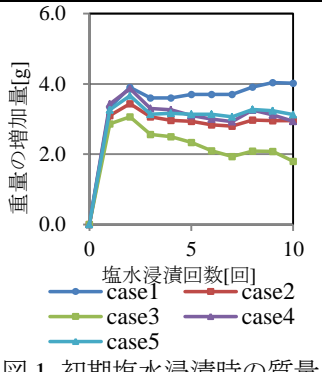
沿岸部のコンクリート構造物には塩害という問題があ り、コンクリート内部の塩化物イオン濃度分布や塩化物 イオンの浸透深さを精度良く予測できるようになること で、この塩害に対してより適切な維持管理を行うことが できる. 降雨はコンクリート内部の塩化物イオン濃度分 布や塩化物イオンの浸透深さに影響を与える要因の一つ であるが、この影響についての研究は少ない. 本研究で は、乾燥方法やサイクル数といった条件を変えながら降 雨を模した室内試験を行うことで、コンクリート内部の 塩化物イオン濃度分布に与える降雨の影響を調べた. そ して、筆者らの研究グループの先行研究<sup>1)</sup>の計算モデル を応用して試験結果を再現し、計算モデルの妥当性及び 塩化物イオン濃度分布,浸透深さについて考察した.

#### 2. 降雨を模した滴下試験

滴下試験には40×40×160 mm の直方体のモルタル供試 体(W/C=0.6, 材齢7日)を用い、40×160 mm の側面はエ ポキシ樹脂で被覆している. 塩水での浸漬 3 時間と乾燥 炉での乾燥 21 時間を全ての供試体に 10 回繰り返し、繰 り返した後の塩化物イオン濃度分布を初期条件とした. その後、表 1 にある乾燥方法とサイクル数の条件で供試 体を3体ずつ用意し、滴下試験を行った. case1 が初期条 件である. 作成した滴下装置を用い、1 サイクルの滴下 時間は3時間,乾燥時間は21時間とした.滴下には蒸留 水を用い, 滴下量は毎時間 100 ml である. 乾燥炉を使用 している case があるのは、同じ時間でより長い乾燥時間 を模擬するためである. 滴下試験後, 各供試体を表面か らの深さ 10 mm 毎に切断し、電位差滴定により塩化物イ オン濃度を測定した. 塩水浸漬時の重量変化を図 1, 塩 化物イオン濃度分布を図2に示す.図1,図2の値は各 条件で用いた3体の供試体の平均値とした. case1と比較 すると他の case は表面の塩化物イオン濃度が低く、深さ 30 mm~50 mm での塩化物イオン濃度が高くなった. これ は、滴下による水分の浸透に伴い表面付近の塩化物イオ ンがより深部に浸透したためと考えられる. また, 塩化 物イオンの浸透深さは45 mm~65 mm となった. 同じ時間 でより長い乾燥時間を模擬するために行った乾燥炉によ る乾燥では、case5が case4より表面付近では塩化物イオ ン濃度が低いが、より深くまで塩分が浸透していること がわかる. 室内乾燥において case3 が case2 よりも塩分濃 度が全体的に低いのは、塩水浸漬の時に case3 が case2 に 比べ塩水があまり浸透せず(図1),試験前の供試体内部 の塩分が少なかったためと考えられる.しかし、case2と case3 の塩化物イオン濃度分布の傾向は似ており, 10 サイ クルではあまり変化しないと考えられる. これらの結果 から, 乾燥時間が長いほど塩化物イオン濃度分布が変化 しやすく、より深部まで浸透すると考えられる.

表1 滴下試験の条件

2 - 11/4   1 / 1/2   1/4		
case	乾燥方法	サイクル数[回]
1		_
2	室内乾燥(20℃)	10
3	室内乾燥(20℃)	20
4	乾燥炉(50℃)	10
5	乾燥炉(50℃)	20



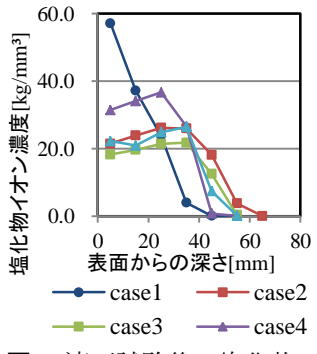


図1 初期塩水浸漬時の質量

図2 滴下試験後の塩化物 イオン濃度分布

#### 3. 移流拡散方程式を用いた計算モデル

先行研究で使用された計算モデルを応用し滴下試験 後の供試体内部の塩化物イオン濃度を計算する. この計 算モデルは移流拡散方程式を基に有限差分法を用いてお り、深さのみの一次元領域で塩化物イオン濃度分布を計 算するモデルである.

#### 3. 1. 飽和度分布, 塩化物イオン濃度分布の計算

コンクリート内の水分の移動拡散によるものだけと

キーワード コンクリート、塩化物イオン濃度分布、移流拡散方程式

〒615-8540 京都市西京区京都大学桂 C1 棟 京都大学大学院工学研究科社会基盤工学専攻構造工学講座橋梁工学分野 TEL 075-383-3170

し Fick の拡散方程式(1)を用い、塩化物イオン濃度  $C_{\ell}(\text{mm}^2/\text{s})$ の計算は移流拡散方程式(2)を用いた.

$$\frac{\partial \theta}{\partial t} = \frac{\partial}{\partial x} \left( D(\theta) \frac{\partial \theta}{\partial x} \right) \tag{1}$$

 $\theta$ : 細孔中の飽和度, x: 浸入面からの深さ(mm),

t:経過時間(s),  $D(\theta):$ 水の拡散係数(mm<sup>2</sup>/s)

$$\frac{\partial C_t}{\partial t} = -\nabla \cdot \left( j_{c,cl} + j_{d,cl} \right) \tag{2}$$

 $j_{c,cl}$ , $j_{d,cl}$ : 移流,拡散による流量フラックス( $mol/mm^2/s$ ) また,計算モデルの滴下中の境界条件に椿らの研究  $^{2}$  によって求められたコンクリート表面で洗い流される塩化物イオン量の式(3)を参考にした.

$$W_s = \alpha \log_{10} t + \beta \tag{3}$$

 $W_s$ : 洗い流された塩化物イオンの単位面積当たりの量  $\alpha$ : 入射角度の影響を表す係数(0.11),  $\beta$ : 作用する速度の影響を表す係数(0.1), t: 降雨が当たる時間[min]

### 3. 2 塩化物イオン濃度分布の計算結果

case1 の飽和度分布及び塩化物イオン濃度分布の計算結果を図 4 に示す.塩化物イオン濃度分布の結果において試験結果と計算結果が概ね一致しており、この計算モデルが十分な精度を持つことがわかる.またサイクルが増えると、深さ 40 mm 以降で飽和度が収束していくことがわかる.一方、表面から深さ 40 mm までの範囲では乾燥前後で飽和度が大きく変化している.塩化物イオンの浸透深さも約 40 mm であり、飽和度が大きく変化している範囲とほぼ一致していることから、塩化物イオンが浸透する際に移流が大きな影響を与えていたと考えられる.また、飽和度分布から水分の浸透深さは 40 mm 以上であるとわかるが、この水分の浸透深さは 40 mm 以上であるとわかるが、この水分の浸透深さよりも、飽和度分布の乾燥前後で大きく変化している範囲がより塩化物イオンの浸透深さに大きな影響を与えていると考えられる.

各 case の計算結果と実験によって得られた濃度分布の比較を図 5 に示す. 試験結果と計算結果は傾向が概ね一致したが、表面の洗い流しの効果や移流の影響が実際よりも計算上では大きくなっていたと考えられる. また、各 case の飽和度分布は省略しているが、各 case でも casel と同様に飽和度分布の乾燥前後で大きく変化する範囲と塩化物イオンの浸透深さが概ね一致し、本モデルにより降雨の影響を受けた塩化物イオン濃度分布を予測できる可能性があると考えられる. 試験結果よりも計算結果が表面付近において塩化物イオン濃度が低く、洗い流し効果の影響を再検討する必要がある.

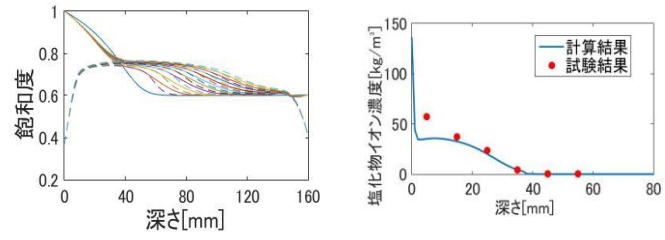
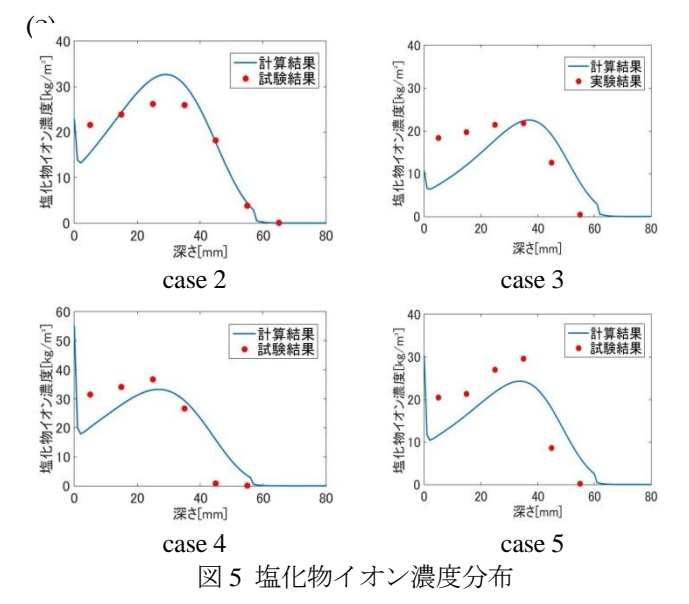


図4 case1 の飽和度分布及び塩化物イオン濃度分布



# 4. 結論

- 1) 降雨と乾燥のサイクル数が多くなるまたは降雨と乾燥サイクルにおける乾燥期間が長くなるほど,塩化物イオンがより深くまで浸透すると考えられる.
- 2) 計算結果の飽和度分布と塩化物イオンの浸透深さから、乾燥前後で飽和度が大きく変化する範囲において塩化物イオンの移流が起こり、塩化物イオンが深部へ浸透すると考えられる。また、飽和度があまり変化しない範囲ではほとんど塩化物イオンが浸透せず、移流があまり起きていないと考えられる。
- 3) 計算結果が実験結果の塩化物イオン濃度と概ね一致 しており、本モデルでは降雨の影響を受けた塩化物 イオン濃度分布を予測できる可能性があるといえる. 謝辞 本研究の一部は JSPS 科研費 15H02261 の助成を受 けた.

#### 参考文献

- 1) 白井睦弥, 三歩一奏人, 平野裕一, 安琳, 白土博通: 移流 拡散方程式による乾湿の激しい環境下でのコンクリート内 部の塩化物イオン濃度分布評価, 土木学会関西支部年次学 術講演会講演概要集, V-435, 2017.8
- 2) 椿龍哉,定月良倫:コンクリート表面に付着した塩化物の表面水流による洗い流し、セメント・コンクリート論文集, No.65, pp.384-391, 2011